

مطالعه ارتعاشات آزاد غیرخطی یک نانو عملگر پیزوالکتریک بايمورف با استفاده از تئوری الاستیسیته غیرموضعی

عباس کاغذیان^۱, حمید رضا فروزنده^۱, علی حاج نایب^{۲*}, حمید محمد صدیقی^۲

۱- دانشجوی کارشناسی ارشد، مهندسی مکانیک، دانشگاه شهید چمران اهواز، اهواز

۲- استادیار، مهندسی مکانیک، دانشگاه شهید چمران اهواز، اهواز

*اهواز، صندوق پستی 6135783151

چکیده

در این پژوهش، ارتعاشات آزاد غیرخطی نانو عملگر پیزوالکتریک بايمورف با استفاده از تئوری الاستیسیته غیرموضعی تحلیل گردیده است. نانو عملگر پیزوالکتریک بايمورف با استفاده از تئوری تیر اویلر برنولی مدل سازی شده و برای استخراج معادلات حاکم از اصل همیلتون استفاده شده است. برای کاهش مرتبه و حل معادلات حرکت از روش گلرکین استفاده شده است. به منظور همگرایی سریع تر از شکل مدهای تیر چند مقطعی استفاده می شود. برای محاسبه فرکانس غیرخطی از روش اصل تغییرات هی استفاده گردیده است. معادلات برای شرایط مرزی تیر دو سر گیردار حل شده و اثرات مقادیر ولتاژ مستقیم، ضربی مقیاس، طول تیر، ضخامت و طول لایه های پیزوالکتریک متصل به تیر، بر روی فرکانس های طبیعی مورد بررسی قرار می گیرد. نتایج نشان می دهد که اعمال ولتاژ مستقیم باعث بوجود آمدن خیز استاتیکی و افزایش سختی در اثر کشش تار خنثی در تیر و در نتیجه افزایش فرکانس غیرخطی تیر می گردد. همچنین افزایش ضربی مقیاس باعث کاهش نرخ تغییرات فرکانس می شود. با افزایش طول و ضربی مقیاس، نسبت فرکانس غیرخطی به خطی افزایش می باید. در نهایت اثر جنس لایه الاستیک بر روی نسبت فرکانسی مورد بررسی قرار می گیرد.

اطلاعات مقاله

مقاله پژوهشی کامل

دریافت: 28 آبان 1394

پذیرش: 24 اسفند 1394

ارائه در سایت: 07 فروردین 1395

کلید واژگان:

تیر پیزوالکتریک بايمورف

الاستیسیته غیرموضعی

ارتعاشات غیرخطی

Nonlinear free vibrations analysis of a piezoelectric bimorph nano actuator using nonlocal elasticity theory

Abbas Kaghazian, Hamidreza Foruzande, Ali Hajnayeb*, Hamid Mohammad Sedighi

Department of Mechanical Engineering, Faculty of Engineering, Shahid Chamran University of Ahvaz, Ahvaz, Iran
* P.O.B. 6135783151, Ahvaz, Iran, a.nayeb@scu.ac.ir

ARTICLE INFORMATION

Original Research Paper

Received 19 December 2015

Accepted 13 February 2016

Available Online 26 March 2016

Keywords:

Bimorph piezoelectric beam
nonlocal elasticity
nonlinear vibrations

ABSTRACT

In this paper, the nonlinear free vibrations of a bimorph piezoelectric nano actuator are studied based on nonlocal elasticity. The Euler-Bernoulli beam theory and Hamilton's principle are used to derive the equation of motion of the actuator. In order to obtain the reduced-order form of equations, the Galerkin method is used. The mode shapes of a multi-span beam are used for a faster convergence. The nonlinear natural frequencies are obtained by using He's variational approach. Equations are solved for clamped-clamped boundary conditions, and the effects of values of DC voltage, actuator length and thickness, length of piezoelectric layers and nonlocal parameter on the nonlinear natural frequencies are studied. The results show that applying a DC voltage induces a static deflection and an increase in the stiffness of the actuator. Therefore, the natural frequency increases. Moreover, increasing the nonlocal parameter decreases the rate of change in frequency variation. An increase in the nonlocal parameter or the length of the actuator increases the nonlinear to nonlinear natural frequency ratio. Finally, the effect of the middle layer material of the actuator on the frequency ratio is studied.

تیرهای پیزوالکتریک بايمورف به صورت سه لایه ای، یک لایه الاستیک

در وسط تیر و دو لایه پیزوالکتریک ساخته می شوند. در این سازه ها با اعمال ولتاژ ناهمسو به لایه های پیزوالکتریک گشناور در تیر بوجود می آید. در تیرهای پیزوالکتریک یونی مورف به صورت دو لایه ای، یک لایه پیزوالکتریک و یک لایه الاستیک ساخته می شود. در این سازه ها با اعمال ولتاژ به لایه پیزوالکتریک، گشناور، نیروی محوری به صورت همزمان ایجاد می شود.

به منظور مدل سازی و تحلیل پیزوالکتریک ها پژوهش های زیادی انجام شده است. با توجه به این که در صورت بزرگ بودن تغییر شکل، دقت پاسخ

در سال های اخیر با افزایش کاربرد سازه های هوشمند استفاده از پیزوالکتریک ها به عنوان حسگر و عملکر مورد توجه ویژه محققان قرار گرفته است. پیزوالکتریک ها تحت تغییر شکل، میدان الکتریکی تولید کرده که اثر مستقیم نام داشته و تحت میدان الکتریکی دچار تغییر شکل شده که به آن اثر معکوس گفته می شود. از اثر مستقیم در ساخت حسگرها مثل شتاب سنج و کرنش سنج استفاده می شود و از اثر معکوس که باعث ایجاد نیرو یا گشناور می شود در ساخت عملکرها مثل نانو پمپ ها و لرزش گرهای استفاده می شود.

۱- مقدمه

برای ارجاع به این مقاله از عبارت ذیل استفاده نمایید:

A. Kaghazian, H. Foruzande, A. Hajnayeb, H. Mohammad Sedighi, Nonlinear free vibrations analysis of a piezoelectric bimorph nano actuator using nonlocal elasticity theory, *Modares Mechanical Engineering*, Vol. 16, No. 4, pp. 55-66, 2016 (in Persian)

بر ولتاژ شکست و خیز استاتیکی را بررسی کردند. نتایج نشان داد افزایش ولتاژ پیزوالکتریک موجب افزایش ولتاژ شکست شده و با افزایش ضربی اندازه، نرخ رشد ولتاژ شکست کاهش می‌یابد. ناظمی زاده و همکاران [9] یک نانوتیر پیزوالکتریک با مورف را با استفاده از تئوری الاستیسیته غیرموضعی مورد مطالعه قرار داده و اثر اندازه و نسبت طول به ضخامت لایه الاستیک بر فرکانس طبیعی تیر را بررسی نمودند. آن‌ها نشان دادند که افزایش ضربی اندازه موجب کاهش فرکانس طبیعی شده که در مودهای بالاتر این کاهش شدیدتر است.

در تغییر شکل‌های بزرگ با افزایش خیز تیر، کشش محوری در تیر بوده‌است که باعث افزایش سختی تیر و در نتیجه کاهش خیز و دامنه ارتعاشات تیر می‌شود. در تغییر شکل‌های بزرگ در نظر نگرفتن کشش محوری منجر به اختلاف قابل ملاحظه‌ای در مقایسه با نتایج خطی خواهد شد. با توجه به تحقیقات اخیر که در بالا ذکر شد و اینکه تا کنون پژوهش قابل توجهی در زمینه ارتعاشات غیرخطی نانو تیر پیزوالکتریک با مورف صورت نگرفته است، در این پژوهش به بررسی آن پرداخته می‌شود. بدین منظور معادلات ارتعاشات غیرخطی نانو تیر اولین برونوی استخراج می‌شوند. پس از الاستیسیته غیرموضعی، و تئوری اولین برونوی استخراج می‌شوند. پس از استخراج معادلات به کمک اصل همیلتون، معادلات حاصل با استفاده از روش گلرکین گسته‌سازی می‌شوند. شکل مودهای تیر چند مقطعی در گسته سازی مورد استفاده قرار می‌گیرند. سپس معادلات حل شده و اثر اندازه، ولتاژ اعمالی و تغییر طول لایه‌های پیزوالکتریک بر فرکانس طبیعی خطی و غیرخطی بررسی می‌شود. همچنین جهت صحنه‌سنجی نتایج، نانو تیر در نرم-افزار اجزاء محدود انسیس شبیه‌سازی شده و پس از انجام تحلیل سازه‌ای خیز استاتیکی محاسبه شده و همچنین با انجام تحلیل مودال، فرکانس طبیعی بدست آمده و با نتایج قسمت قبل، مقایسه شده است.

2-مدل سازی

یک تیر پیزوالکتریک با مورف به طول L ، ضخامت تیر h ، ضخامت لایه پیزوالکتریک h_p و طول پیزوالکتریک L_1, L_2 همان‌طور که در شکل یک نشان داده شده در نظر گرفته و دو سطح بالا و پایین لایه پیزوالکتریک تحت اختلاف پتانسیل الکتریکی V_0 قرار می‌گیرد. روابط کرنش جابجایی براساس تئوری اولین برونوی به صورت معادله (1) نوشته می‌شود [10]:

$$\begin{aligned} u(x, z, t) &= U(x, t) - Z \left(\frac{\partial W(x, t)}{\partial x} \right) \\ v(x, z, t) &= 0 \\ w(x, z, t) &= W(x, t) \end{aligned} \quad (1)$$

که U, W به ترتیب جابجایی‌های طولی تار خنثی و عرضی تیر می‌باشد. کرنش نیز برابر خواهد بود با:

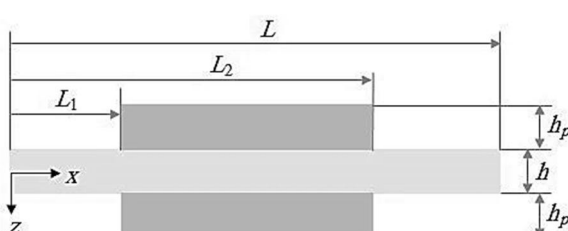


Fig. 1 Nano actuator that is modeled as a piezoelectric beam

شکل ۱ نانو عملگر مدل شده بصورت یک تیر پیزوالکتریک

بدست آمده از مدل خطی چندان مناسب نیست، بسیاری از پژوهش‌های اخیر، در زمینه تحلیل غیرخطی تیرهای پیزوالکتریک انجام پذیرفته است. در یکی از نخستین تحقیقات زمانیان و همکاران [1] به تحلیل استاتیکی و ارتعاش آزاد یک میکروتیر یونی مورف تحت تحريك الکترواستاتیک و پیزوالکتریک با در نظر گرفتن تاثیرات غیرخطی کشش لایه میانی پرداختند. آن‌ها اثر طول و ضخامت لایه پیزوالکتریک، ولتاژ مستقیم پیزوالکتریک و ولتاژ مستقیم الکترواستاتیک بر فرکانس طبیعی، خیز استاتیکی و ولتاژ پولین را بررسی کردند. محمودی و همکاران [2] به مطالعه ارتعاش اجباری غیرخطی میکروتیر یونی مورف پرداختند. آن‌ها با در نظر گرفتن عوامل غیرخطی مادی و هندسی، پاسخ میکروتیر یک سرگیردار به تحريك پیزوالکتریک را بررسی کرده و با نتایج تجربی مقایسه کردند. عزیزی و همکاران [3] یک میکروتیر پیزوالکتریک با مورف غیرخطی دو سرگیردار تحت تحريك الکترواستاتیک و پیزوالکتریک را مورد تحلیل قرار دادند. آنها با اعمال ولتاژ مستقیم به لایه‌های پیزوالکتریک، اثر ولتاژ الکترواستاتیکی مستقیم و متناوب بر رفتار استاتیکی و دینامیکی میکروتیر را بررسی کردند. نتایج این پژوهش نشان داد که اعمال ولتاژ مستقیم مثبت به لایه‌های پیزوالکتریک باعث افزایش سختی خمی شده و اعمال ولتاژ منفی باعث کاهش آن می‌شود. غفاری راد و همکاران [4] با استفاده از شکل مودهای یک تیر ناپوسته به مطالعه تیر پیزوالکتریک با مورفی که لایه‌های پیزوالکتریک آن تنها بخشی از لایه الاستیک را پوشش می‌دهد، پرداختند. در این پژوهش خیز استاتیکی ناشی از اعمال ولتاژ مستقیم به لایه‌های پیزوالکتریک و همچنین ارتعاش اجباری تیر پیزوالکتریک با مورف یک سرگیردار و دو سرگیردار مورف بررسی قرار گرفته سپس نتایج با استفاده از مدل آزمایشگاهی مقایسه شده است. زمانیان و همکاران [5] با بررسی همگرایی پاسخ استاتیکی و دینامیکی میکروتیر یونی-مورف به تحريك پیزوالکتریک نشان دادند که استفاده از شکل مودهای گسته برای تیرهای دارای لایه پیزوالکتریک با طولی کم تراز طول تیر، از مزیت همگرایی سریع تر برخوردار بوده و هزینه محاسباتی را به شدت کاهش می‌دهد.

بررسی‌های تجربی نشان می‌دهد که رفتار مواد در مقیاس کوچک متفاوت می‌باشد. با توجه به ناتوانی تئوری مکانیک محیط‌های پیوسته کلاسیک در اعمال اثرات کاهش ابعاد، باید از تئوری‌های جایگزین استفاده نمود. پژوهش‌های انجام شده در زمینه نانو مواد حاکی از دقت بالای تئوری الاستیسیته غیرموضعی در این خصوصی می‌باشد. که و همکاران [6] از تئوری الاستیسیته غیرموضعی بهره گرفته و فرکانس طبیعی و شکل مودهای نانوتیر پیزوالکتریک تک لایه را بدست آورده‌اند. در این پژوهش از مدل خطی استفاده شده و اثر تغییرات دما، ولتاژ مستقیم، نیروی محوری و ضربی اندازه بر فرکانس طبیعی و شکل مودها بررسی گردید. نتایج این مقاله حاکی از تاثیر ناچیز دما و اثر شدید ضربی اندازه بوده همچنین، اهمیت در نظر گرفتن اثرات اندازه را اثبات نمود. که و همکاران [7] در ادامه پژوهش خود از مدل غیرخطی بهره گرفته و تغییرات فرکانس طبیعی غیرخطی نانوتیر پیزوالکتریک را بر حسب مقادیر مختلف ولتاژ مستقیم پیزوالکتریک را مطالعه کرده، اثر تغییر دما و اندازه را نیز بر فرکانس طبیعی غیرخطی، بررسی کردند. نتایج این پژوهش نشان داد که با افزایش درجه حرارت و ضربی اندازه، فرکانس طبیعی غیرخطی افزایش پیدا می‌کند. شاه محمدی و همکاران [8] یک نانوتیر پیزوالکتریک با مورف دو سرگیردار را با استفاده از تئوری الاستیسیته غیرموضعی مورد مطالعه قرار داده و اثر اندازه و ولتاژ پیزوالکتریک

معادله (6) را به صورت زیر می‌توان بازنویسی کرد:

$$\begin{aligned} \Pi_s &= \frac{1}{2} \int_0^L \left(-M_x^1 \frac{\partial^2 W}{\partial x^2} + N_x^1 \left(\frac{\partial U}{\partial x} + \frac{1}{2} \left(\frac{\partial W}{\partial x} \right)^2 \right) \right. \\ &\quad \left. + \int_{-\frac{h}{2}}^{\frac{h}{2}} D_x^1 \frac{V_0}{h_p} dz \right) G(x) dx \\ &\quad + \frac{1}{2} \int_0^L \left(-M_x^2 \frac{\partial^2 W}{\partial x^2} + N_x^2 \frac{\partial U}{\partial x} + \frac{1}{2} \left(\frac{\partial W}{\partial x} \right)^2 \right) dx \\ &\quad + \frac{1}{2} \int_0^L \left(-M_x^3 \frac{\partial^2 W}{\partial x^2} + N_x^3 \frac{\partial U}{\partial x} + \frac{1}{2} \left(\frac{\partial W}{\partial x} \right)^2 \right. \\ &\quad \left. + \int_{\frac{h}{2}}^{\frac{h}{2}+h_p} D_x^3 \frac{V_0}{h_p} dz \right) G(x) dx \end{aligned} \quad (8)$$

تغییرات انرژی کرنشی برابر است با:

$$\delta \Pi_s = \int_0^L \int_{-\frac{h}{2}}^{\frac{h}{2}} (\sigma_{xx} \delta \varepsilon_{xx}) dz dx \quad (9)$$

با توجه به معادلات (8) و (9) می‌توان نوشت:

$$\begin{aligned} \delta \Pi_s &= \int_0^L \left(-M_x^1 \delta \frac{\partial^2 W}{\partial x^2} + N_x^1 \delta \left(\frac{\partial U}{\partial x} \right. \right. \\ &\quad \left. \left. + \frac{1}{2} \left(\frac{\partial W}{\partial x} \right)^2 \right) \right) G(x) dx \\ &\quad + \int_0^L \left(-M_x^2 \delta \frac{\partial^2 W}{\partial x^2} + N_x^2 \delta \left(\frac{\partial U}{\partial x} \right. \right. \\ &\quad \left. \left. + \frac{1}{2} \left(\frac{\partial W}{\partial x} \right)^2 \right) \right) dx + \int_0^L \left(-M_x^3 \delta \frac{\partial^2 W}{\partial x^2} \right. \\ &\quad \left. + N_x^3 \delta \left(\frac{\partial U}{\partial x} + \frac{1}{2} \left(\frac{\partial W}{\partial x} \right)^2 \right) \right) G(x) dx \end{aligned} \quad (10)$$

انرژی جنبشی تیر برابر خواهد بود:

$$\Pi_k = \frac{1}{2} \int_0^L m(x) \left[\left(\frac{\partial W}{\partial t} \right)^2 + \left(\frac{\partial U}{\partial t} \right)^2 \right] dx \quad (11)$$

تغییرات انرژی جنبشی برابر است با:

$$\delta \Pi_k = \int_0^L m(x) \delta \left[\left(\frac{\partial W}{\partial t} \right)^2 + \left(\frac{\partial U}{\partial t} \right)^2 \right] dx \quad (12)$$

کار نیروی خارجی اعمال شده بر تیر، برابر است با [11]:

$$\Pi_f = \int_0^L (M_p G(x)) \frac{\partial^2 w}{\partial x^2} dx + \int_0^L \frac{C}{b} \frac{\partial W}{\partial t} W dx \quad (13)$$

تغییرات کار نیروهای خارجی به صورت معادله (14) می‌باشد:

$$\delta \Pi_f = \int_0^L (M_p G(x)) \delta \frac{\partial^2 w}{\partial x^2} dx + \int_0^L \frac{C}{b} \frac{\partial W}{\partial t} \delta W dx \quad (14)$$

اصل همیلتون به صورت معادله (15) بیان می‌شود:

$$\delta H = \int_0^t \delta h dt = \int_0^t (\delta \Pi_s + \delta \Pi_f - \delta \Pi_k) dt = 0 \quad (15)$$

پس از جاگذاری معادلات (10) و (12) و (14) در معادله (15) و با مساوی

صفر قرار دادن ضرایب δW و δU می‌توان نوشت:

$$\frac{\partial N(x)}{\partial x} = m(x) \frac{\partial^2 U}{\partial t^2} \quad (16)$$

$$\begin{aligned} \frac{\partial^2 M(x)}{\partial x^2} + \frac{\partial(N(x)W')}{\partial x} - \frac{C}{b} \frac{\partial W}{\partial t} - M_p \frac{\partial^2 G(x)}{\partial x^2} \\ = m(x) \frac{\partial^2 W}{\partial t^2} \end{aligned} \quad (17)$$

شرط مرزی بدست آمده از اصل همیلتون به صورت رابطه (18) نوشته می-

شود:

$$\begin{aligned} \varepsilon_{xx} &= \varepsilon_{xx}^0 - Z K_x \\ \varepsilon_{xx}^0 &= \frac{\partial u(x, t)}{\partial x} + \frac{1}{2} \left(\frac{\partial w}{\partial x} \right)^2, K_x = \frac{\partial^2 w(x, t)}{\partial x^2} \end{aligned} \quad (2)$$

ε_{xx} کرنش طولی تیر، ε_{xx}^0 کرنش لایه میانی و K_x انحنای تیر می‌باشد. مولفه‌های میدان الکتریکی با استفاده از معادله (3) قابل محاسبه خواهد بود [4]:

$$\begin{aligned} E_z^1 &= -\frac{V_0}{h_p} \\ E_z^3 &= -\frac{V_0}{h_p} \end{aligned} \quad (3)$$

بالا نویس نشان دهنده شماره لایه می‌باشد. با توجه به این که تکه‌های پیزوالکتریک با طول کمتر از لایه الاستیک بر روی تیر چسبانده شده با استفاده ازتابع هویسايد بازه محاسباتی کمیت‌های مربوط به پیزوالکتریک را

با تعریف معادله (4) به صورت رابطه (4) مشخص می‌شود:

$$G(x) = H(x - L_1) - H(x - L_2) \quad (4)$$

در این تحقیق معادلات حاکم با استفاده از اصل همیلتون استخراج شده است. انرژی کرنشی تیر پیزوالکتریک با میمورف با استفاده از رابطه (5) برای هر لایه می‌توان محاسبه نمود [4].

$$\begin{aligned} \Pi_s &= \frac{1}{2} \int_0^L \int_{-\frac{h}{2}}^{\frac{h}{2}} (\sigma_{xx}^1 \varepsilon_{xx} - D_z^1 E_z^1) G(x) dz dx \\ &\quad + \frac{1}{2} \int_0^L \int_{-\frac{h}{2}}^{\frac{h}{2}} (\sigma_{xx}^2 \varepsilon_{xx}) dz dx \\ &\quad + \frac{1}{2} \int_0^L \int_{\frac{h}{2}}^{\frac{h}{2}+h_p} (\sigma_{xx}^3 \varepsilon_{xx} - D_z^3 E_z^3) G(x) dz dx \end{aligned} \quad (5)$$

با قرار دادن معادلات (2) و (3) در معادله (5) می‌توان نوشت:

$$\begin{aligned} \Pi_s &= \frac{1}{2} \int_0^L \int_{-\frac{h}{2}}^{\frac{h}{2}} \left(\sigma_{xx}^1 \frac{\partial U}{\partial x} - z \sigma_{xx}^1 \frac{\partial^2 W}{\partial x^2} \right. \\ &\quad \left. + \frac{1}{2} \sigma_{xx}^1 \left(\frac{\partial W}{\partial x} \right)^2 + D_z^1 \frac{V_0}{h_p} \right) G(x) dz dx \\ &\quad + \frac{1}{2} \int_0^L \int_{-\frac{h}{2}}^{\frac{h}{2}} \left(\sigma_{xx}^2 \frac{\partial U}{\partial x} - z \sigma_{xx}^2 \frac{\partial^2 W}{\partial x^2} \right. \\ &\quad \left. + \frac{1}{2} \sigma_{xx}^2 \left(\frac{\partial W}{\partial x} \right)^2 \right) dz dx \\ &\quad + \frac{1}{2} \int_0^L \int_{\frac{h}{2}}^{\frac{h}{2}+h_p} \left(\sigma_{xx}^3 \frac{\partial U}{\partial x} - z \sigma_{xx}^3 \frac{\partial^2 W}{\partial x^2} \right. \\ &\quad \left. + \frac{1}{2} \sigma_{xx}^3 \left(\frac{\partial W}{\partial x} \right)^2 + D_z^3 \frac{V_0}{h_p} \right) G(x) dz dx \end{aligned} \quad (6)$$

با تعریف گشتاور و نیروی کشنی منتجه به صورت معادله (7):

$$\begin{aligned} M_x^1 &= \int_{-\frac{h}{2}-h_p}^{-\frac{h}{2}} (\sigma_{xx}^1 z) dz \\ M_x^2 &= \int_{-\frac{h}{2}}^{\frac{h}{2}} (\sigma_{xx}^2 z) dz \\ M_x^3 &= \int_{\frac{h}{2}}^{\frac{h}{2}+h_p} (\sigma_{xx}^3 z) dz \\ N_x^1 &= \int_{-\frac{h}{2}-h_p}^{-\frac{h}{2}} \sigma_{xx}^1 dz \\ N_x^2 &= \int_{-\frac{h}{2}}^{\frac{h}{2}} \sigma_{xx}^2 dz \\ N_x^3 &= \int_{\frac{h}{2}}^{\frac{h}{2}+h_p} \sigma_{xx}^3 dz \end{aligned} \quad (7)$$

$$\begin{aligned}
 M_x^2 - (e_0 a)^2 \frac{\partial^2 (M_x^2)}{\partial x^2} &= -D_{11}^2 \frac{\partial^2 W}{\partial x^2} + \int_{-\frac{h}{2}}^{\frac{h}{2}} C_{11} z \frac{\partial U}{\partial x} dz \\
 &+ \frac{1}{2} \int_{-\frac{h}{2}}^{\frac{h}{2}} C_{11} z \left(\frac{\partial W}{\partial x} \right)^2 dz \quad (\text{-23}) \\
 G(x) M_x^3 - (e_0 a)^2 \frac{\partial^2 (G(x) M_x^3)}{\partial x^2} &= -G(x) D_{11}^3 \frac{\partial^2 W}{\partial x^2} + G(x) \int_{-\frac{h}{2}}^{\frac{h}{2}+h_p} C_{11} z \frac{\partial U}{\partial x} dz \\
 &- G(x) \int_{-\frac{h}{2}}^{\frac{h}{2}+h_p} e_{31} z E_z dz \\
 &+ \frac{G(x)}{2} \int_{-\frac{h}{2}}^{\frac{h}{2}+h_p} C_{11} z \left(\frac{\partial W}{\partial x} \right)^2 dz \quad (\text{-23}) \\
 \end{aligned}$$

که در معادلات فوق:

$$\begin{aligned}
 D_{11}^1 &= \int_{-\frac{h}{2}-h_p}^{-\frac{h}{2}} C_{11}^1 z^2 dz \\
 D_{11}^2 &= \int_{-\frac{h}{2}}^{\frac{h}{2}} C_{11}^2 z^2 dz \\
 D_{11}^3 &= \int_{\frac{h}{2}}^{\frac{h}{2}+h_p} C_{11}^3 z^2 dz \\
 A_{11}^1 &= \int_{-\frac{h}{2}-h_p}^{-\frac{h}{2}} C_{11} dz \\
 A_{11}^2 &= \int_{-\frac{h}{2}}^{\frac{h}{2}} C_{11} dz \\
 A_{11}^3 &= \int_{\frac{h}{2}}^{\frac{h}{2}+h_p} C_{11} dz \quad (24)
 \end{aligned}$$

اگر به لایه بالایی و پایینی پیزوالکتریکها ولتاژهای ناهمسو اعمال شود، پس از جمع معادلات (22) و (23) می‌توان نوشت:

$$\begin{aligned}
 N_x(x) - (e_0 a)^2 \frac{\partial^2 (N_x(x))}{\partial x^2} &= \left(\frac{\partial U}{\partial x} + \frac{1}{2} \left(\frac{\partial W}{\partial x} \right)^2 \right) A_{11}(x) \quad (\text{-25})
 \end{aligned}$$

$$M_x(x) - (e_0 a)^2 \frac{\partial^2 (M_x(x))}{\partial x^2} = -D_{11}(x) \frac{\partial^2 W}{\partial x^2} \quad (\text{-25})$$

پس از مشتق گرفتن از معادله (16) و قرار دادن در رابطه (25)-الف) می‌توان نوشت:

$$\begin{aligned}
 N_x(x) &= \left(\frac{\partial U}{\partial x} + \frac{1}{2} \left(\frac{\partial W}{\partial x} \right)^2 \right) A_{11}(x) \\
 &+ (e_0 a)^2 \left(m(x) \frac{\partial^3 U}{\partial t^2 \partial x} + \frac{\partial m(x)}{\partial x} \frac{\partial^2 U}{\partial t^2} \right) \quad (26)
 \end{aligned}$$

همچنین از جایگذاری معادله (17) در معادله (25)-ب) می‌توان نوشت:

$$\begin{aligned}
 M_x(x) &= -D_{11}(x) \frac{\partial^2 W}{\partial x^2} \\
 &+ (e_0 a)^2 \left[m(x) \frac{\partial^2 W}{\partial t^2} + \frac{C}{b} \frac{\partial W}{\partial t} + M_p \frac{\partial^2 G(x)}{\partial x^2} \right] \\
 &- (e_0 a)^2 \frac{\partial}{\partial x} \left(N_x(x) \frac{\partial W}{\partial x} \right) \quad (27)
 \end{aligned}$$

حال با استفاده از معادله (26) جابجایی محوری محاسبه می‌شود:

$$\begin{aligned}
 x = 0, l \rightarrow W' = 0 \text{ یا } M_x^2 = 0 \\
 x = 0, l \rightarrow W = 0 \text{ یا } M_x^{2'} = 0 \\
 x = 0, l \rightarrow N_x^2 W' = 0 \text{ یا } W = 0 \\
 x = 0, l \rightarrow N_x^2 = 0 \text{ یا } U = 0 \quad (18)
 \end{aligned}$$

که در جملات فوق:

$$\begin{aligned}
 m_b &= h \rho_b, m_p = h_p \rho_p \\
 m(x) &= 2m_p G(x) + m_b \\
 N(x) &= N_x^2 G(x) + N_x^1 + N_x^3 G(x) \\
 M(x) &= M_x^2 G(x) + M_x^1 + M_x^3 G(x) \quad (19)
 \end{aligned}$$

3- تئوری الاستیسیته غیرموضعی

در ابعاد ماکرو تنش در هر نقطه وابسته به کرنش همان نقطه می‌باشد ولی در مقیاس نانو این گونه نیست. در ابعاد نانو تنش در هر نقطه وابسته به کرنش تمامی نقاط جسم می‌باشد. اینگونه برای نشان دادن این تئوری معادله (20) را پیشنهاد داد. تا کنون پژوهش‌های بسیاری با استفاده از این تئوری انجام شده که حاکی از دقت مناسب آن می‌باشد [12].

$$\sigma_{ij} - (e_0 a)^2 \nabla^2 \sigma_{ij} = C_{ijkl} \varepsilon_{kl} - e_{kij} E_k \quad (20)$$

برای تیر پیزوالکتریک بایمورف می‌توان رابطه فوق را به صورت معادله (21) نوشت:

$$\begin{aligned}
 G(x) \sigma_{xx}^1 - (e_0 a)^2 \frac{\partial^2 (G(x) \sigma_{xx}^1)}{\partial x^2} &= G(x) (C_{11}^P \varepsilon_{xx} - e_{31} E_z^1) \quad (\text{-21})
 \end{aligned}$$

$$\begin{aligned}
 \sigma_{xx}^2 - (e_0 a)^2 \frac{\partial^2 (\sigma_{xx}^2)}{\partial x^2} &= C_{11}^E \varepsilon_{xx} \quad (\text{-21})
 \end{aligned}$$

$$\begin{aligned}
 G(x) \sigma_{xx}^3 - (e_0 a)^2 \frac{\partial^2 (G(x) \sigma_{xx}^3)}{\partial x^2} &= G(x) (C_{11}^P \varepsilon_{xx} - e_{31} E_z) \quad (\text{-21})
 \end{aligned}$$

با انتگرال گیری از معادلات (21) می‌توان نوشت:

$$\begin{aligned}
 G(x) N_x^1 - (e_0 a)^2 \frac{\partial^2 (G(x) N_x^1)}{\partial x^2} &= G(x) N_E + A_{11} G(x) \left(\frac{\partial U}{\partial x} + \frac{1}{2} \left(\frac{\partial W}{\partial x} \right)^2 \right) \\
 &- C_{11} \frac{\partial^2 W}{\partial x^2} \left[\left(-\frac{h}{2} \right)^2 - \left(-\frac{h}{2} - h_p \right)^2 \right] \quad (\text{-22})
 \end{aligned}$$

$$N_x^2 - (e_0 a)^2 \frac{\partial^2 (N_x^2)}{\partial x^2} = A_{11} \left(\frac{\partial U}{\partial x} + \frac{1}{2} \left(\frac{\partial W}{\partial x} \right)^2 \right) \quad (\text{-22})$$

$$\begin{aligned}
 G(x) N_x^3 - (e_0 a)^2 \frac{\partial^2 (G(x) N_x^3)}{\partial x^2} &= G(x) N_E + G(x) A_{11} \left(\frac{\partial U}{\partial x} + \frac{1}{2} \left(\frac{\partial W}{\partial x} \right)^2 \right) \\
 &- G(x) C_{11} \frac{\partial^2 W}{\partial x^2} \frac{1}{2} \left[\left(\frac{h}{2} + h_p \right)^2 - \left(\frac{h}{2} \right)^2 \right] \quad (\text{-22})
 \end{aligned}$$

همچنین از انتگرال گیری از حاصل ضرب Z در معادله (21) می‌توان نوشت:

$$\begin{aligned}
 G(x) M_x^1 - (e_0 a)^2 \frac{\partial^2 (G(x) M_x^1)}{\partial x^2} &= -G(x) D_{11}^1 \frac{\partial^2 W}{\partial x^2} + G(x) \int_{-\frac{h}{2}-h_p}^{-\frac{h}{2}} C_{11} z \frac{\partial U}{\partial x} dz \\
 &- G(x) \int_{-\frac{h}{2}-h_p}^{-\frac{h}{2}} e_{31} z E_z dz \\
 &+ \frac{G(x)}{2} \int_{-\frac{h}{2}-h_p}^{-\frac{h}{2}} C_{11} z \left(\frac{\partial W}{\partial x} \right)^2 dz \quad (\text{-23})
 \end{aligned}$$

$$\begin{aligned}
& -\bar{D}_{11}\bar{W}_d'''' - 2\bar{D}'_{11}\bar{W}_d''' - \bar{D}''_{11}\bar{W}_d'' \\
& + \mu^2[\bar{C}\dot{\bar{W}}_d'' + \bar{G}''''\bar{M}_{AC} - \frac{\eta^2}{2}[(2\bar{W}_s''''\int_0^1\bar{W}_s'\bar{W}_d'd\bar{x} \\
& + 2\bar{W}_d''''\int_0^1\bar{W}_d'\bar{W}_s'd\bar{x} + \bar{w}_s''''\int_0^1\bar{W}_d'^2d\bar{x} \\
& + \bar{W}_d''''\int_0^1\bar{W}_d'^2d\bar{x} + \bar{W}_d''''\int_0^1\bar{W}_s'^2d\bar{x}) \\
& + \frac{4A_{11}(x)}{A_{11}}\bar{W}_s''''\int_0^1\bar{W}_s'\bar{W}_d'd\bar{x} \\
& + \frac{2A'_{11}(x)}{A_{11}}\bar{W}_s''''\int_0^1\bar{W}_d'^2d\bar{x} \\
& + \frac{4A'_{11}(x)}{A_{11}}\bar{W}_d''''\int_0^1\bar{W}_s'\bar{W}_d'd\bar{x} \\
& + \frac{2A_{11}(x)}{A_{11}}\bar{W}_d''''\int_0^1\bar{W}_s'^2d\bar{x} \\
& + \frac{2A'_{11}(x)}{A_{11}}\bar{W}_d''''\int_0^1\bar{W}_d'^2d\bar{x} \\
& + 2\bar{W}_s''\frac{A'_{11}(x)}{A_{11}}\int_0^1\bar{W}_s'\bar{W}_d'd\bar{x} \\
& + \frac{A'_{11}(x)}{A_{11}}\bar{W}_s''\int_0^1\bar{W}_d'^2d\bar{x} \\
& + \frac{2A'_{11}(x)}{A_{11}}\bar{W}_d''\int_0^1\bar{W}_s'\bar{W}_d'd\bar{x} \\
& + \frac{A'_{11}(x)}{A_{11}}\bar{W}_d''\int_0^1\bar{W}_d'^2d\bar{x}] + \frac{\eta^2}{2}[2\bar{W}_s''\int_0^1\bar{W}_s'\bar{W}_d'd\bar{x} \\
& + \bar{W}_s''\int_0^1\bar{W}_d'^2d\bar{x} + 2\bar{W}_d''\int_0^1\bar{W}_s'\bar{W}_d'd\bar{x} \\
& + \bar{W}_d''\int_0^1\bar{W}_s'^2d\bar{x} \\
& + \bar{W}_d''\int_0^1\bar{W}_d'^2d\bar{x}] - \bar{C}\dot{\bar{W}}_d - \bar{M}_{AC}\bar{G}'' \\
& = \bar{m}(x)(\ddot{\bar{W}}_d - \mu^2\ddot{\bar{W}}_d'') \tag{36}
\end{aligned}$$

برای محاسبه خیز استاتیکی ابتدا با صرف نظر از مشتقات زمانی معادله به صورت رابطه (37) باز نویسی می‌شود:

$$\begin{aligned}
& -\left(\bar{D}_{11}(x)\frac{\partial^4\bar{W}_s}{\partial\bar{x}^4} + 2\frac{\partial^3\bar{W}_s}{\partial\bar{x}^3}\frac{\partial\bar{D}_{11}(x)}{\partial\bar{x}} + \frac{\partial^2\bar{W}_s}{\partial\bar{x}^2}\frac{\partial^2\bar{D}_{11}(x)}{\partial\bar{x}^2}\right) \\
& + (\mu)^2\left[\bar{M}_{DC}\frac{\partial^4\bar{G}(x)}{\partial\bar{x}^4} - \frac{\eta^2}{2}(\frac{\partial^4\bar{W}_s}{\partial\bar{x}^4} + \frac{2}{A_{11}}\frac{\partial^3\bar{W}_s}{\partial\bar{x}^3}\frac{\partial\bar{A}_{11}(x)}{\partial\bar{x}} + \right. \\
& \left.\frac{1}{A_{11}}\frac{\partial^2\bar{W}_s}{\partial\bar{x}^2}\frac{\partial^2\bar{A}_{11}(x)}{\partial\bar{x}^2})\int_0^1\left(\frac{\partial\bar{W}_s}{\partial\bar{x}}\right)^2d\bar{x}\right] + \\
& \frac{\eta^2}{2}\frac{\partial^2\bar{W}_s}{\partial\bar{x}^2}\int_0^1\left(\frac{\partial\bar{W}_s}{\partial\bar{x}}\right)^2d\bar{x} - \bar{M}_{DC}\frac{\partial^2\bar{G}(x)}{\partial\bar{x}^2} = 0 \tag{37}
\end{aligned}$$

: [4] با استفاده از روش گلرکین خیز به صورت زیر تقریب زده می‌شود

$$\begin{aligned}
\bar{W}_s(x) &= a_1\psi_1(x) + a_2\psi_2(x) + a_3\psi_3(x) + \dots \\
&+ a_n\psi_n(x) = \sum_{i=1}^n a_i\psi_i(x) \tag{38}
\end{aligned}$$

که n شماره مود، a_i ضرایب ثابت که با استفاده از عملیات جبری محاسبه می‌شوند و $\psi_i(x)$ به صورت رابطه (39) تعریف می‌شوند:

$$\begin{aligned}
\psi(x) &= (1 - H(x - L_1))\phi_1(x) \\
&+ (H(x - L_1) - H(x - L_2))\phi_2(x) \\
&+ H(x - L_2)\phi_3(x) \tag{39}
\end{aligned}$$

$$\begin{aligned}
\int_0^L\frac{\partial U}{\partial x}dx &= [U]_0^L = \int_0^L\frac{N_x(x)}{A_{11}(x)}dx - \frac{1}{2}\int_0^L\left(\frac{\partial W}{\partial x}\right)^2dx \\
&- (e_0a)^2[\frac{m(x)}{A_{11}(x)}\frac{\partial^2U}{\partial t^2}]_0^L \\
&+ \int_0^L\frac{1}{A_{11}(x)}\left(\frac{\partial m(x)}{\partial x}\frac{\partial^2U}{\partial t^2}\right)dx \tag{28}
\end{aligned}$$

شرط مزدی برای جابجایی تیر به صورت رابطه (29) می‌باشد:

$$x = 0, L \rightarrow U = 0 \tag{29}$$

با اعمال شرایط مزدی (29) در معادله (28) و با توجه به ناچیز بودن اینرسی محوری، نیروی کششی به صورت معادله (30) بدست خواهد آمد [10]:

$$N_x(x) = \frac{A_{11}(x)}{2L}\int_0^L\left(\frac{\partial W}{\partial x}\right)^2dx \tag{30}$$

با توجه به ناچیز بودن اینرسی محوری و جایگذاری معادله (17) و (30) در رابطه (27) می‌توان نوشت:

$$\begin{aligned}
M_x(x) &= -D_{11}(x)\frac{\partial^2W}{\partial x^2} + (e_0a)^2[m(x)\frac{\partial^2W}{\partial t^2} + \frac{C}{b}\frac{\partial W}{\partial t} \\
&+ M_p\frac{\partial^2G(x)}{\partial x^2} - \frac{\partial^2W}{\partial x^2}(\frac{A_{11}(x)}{2L}\int_0^L(\frac{\partial W}{\partial x})^2dx)] \tag{31}
\end{aligned}$$

با جایگذاری معادلات (31) و (30) در معادله (17) معادله ارتعاش عرضی

تیر به صورت رابطه (32) بدست می‌آید:

$$\begin{aligned}
& -\left(D_{11}(x)\frac{\partial^4W}{\partial x^4} + 2\frac{\partial^3W}{\partial x^3}\frac{\partial D_{11}(x)}{\partial x} + \frac{\partial^2W}{\partial x^2}\frac{\partial^2D_{11}(x)}{\partial x^2}\right) \\
& + (e_0a)^2[\frac{C}{b}\frac{\partial^3W}{\partial t\partial x^2} + M_p\frac{\partial^4G(x)}{\partial x^4} \\
& - \frac{1}{2L}(\frac{\partial^4W}{\partial x^4}A_{11}(x) + 2\frac{\partial^3W}{\partial x^3}\frac{\partial A_{11}(x)}{\partial x} \\
& + \frac{\partial^2W}{\partial x^2}\frac{\partial^2A_{11}(x)}{\partial x^2})\int_0^L\left(\frac{\partial W}{\partial x}\right)^2dx] \\
& + \frac{\partial^2W}{\partial x^2}\left(\frac{A_{11}(x)}{2L}\int_0^L\left(\frac{\partial W}{\partial x}\right)^2dx\right) - \frac{C}{b}\frac{\partial W}{\partial t} \\
& - M_p\frac{\partial^2G(x)}{\partial x^2} = m(x)\frac{\partial^2W}{\partial t^2} - m(x)(e_0a)^2\frac{\partial^4W}{\partial t^2\partial x^2} \tag{32}
\end{aligned}$$

برای بی بعد کردن معادله (32) عبارات زیر تعریف می‌شود:

$$\begin{aligned}
\bar{W} &= \frac{W}{h}, \quad \bar{x} = \frac{x}{L}, \quad \bar{M}_p = \frac{M_p}{A_{11}h}, \quad \mu = \frac{e_0a}{L}, \\
\bar{D}_{11} &= \frac{D_{11}}{A_{11}L^2}, \quad \bar{t} = \frac{t}{\tau}, \quad \tau = L\sqrt{\frac{m_b}{A_{11}}}, \quad \bar{C} = \frac{L^2c}{bA_{11}\tau}, \\
\bar{m}(x) &= 1 + \frac{m_p}{m_b}G(x) \tag{33}
\end{aligned}$$

پس از جایگذاری عبارات (33) در معادله (32) می‌توان نوشت:

$$\begin{aligned}
& -\left(\bar{D}_{11}(x)\frac{\partial^4\bar{W}}{\partial\bar{x}^4} + 2\frac{\partial^3\bar{W}}{\partial\bar{x}^3}\frac{\partial\bar{D}_{11}(x)}{\partial\bar{x}} + \frac{\partial^2\bar{W}}{\partial\bar{x}^2}\frac{\partial^2\bar{D}_{11}(x)}{\partial\bar{x}^2}\right) \\
& + \mu^2[\bar{C}\frac{\partial^3\bar{W}}{\partial\bar{t}\partial\bar{x}^2} + \bar{M}_{AC}\frac{\partial^4\bar{G}(x)}{\partial\bar{x}^4} - \frac{\eta^2}{2}(\frac{\partial^4\bar{W}}{\partial\bar{x}^4}\bar{A}_{11}(x) \\
& + 2\frac{\partial^3\bar{W}}{\partial\bar{x}^3}\frac{\partial\bar{A}_{11}(x)}{\partial\bar{x}} + \frac{1}{A_{11}}\frac{\partial^2\bar{W}}{\partial\bar{x}^2}\frac{\partial^2\bar{A}_{11}(x)}{\partial\bar{x}^2}) \\
& + \int_0^1\left(\frac{\partial\bar{W}}{\partial\bar{x}}\right)^2d\bar{x}] + \frac{\eta^2}{2}\frac{\partial^2\bar{W}}{\partial\bar{x}^2}\int_0^1\left(\frac{\partial\bar{W}}{\partial\bar{x}}\right)^2d\bar{x} - \bar{C}\frac{\partial\bar{W}}{\partial\bar{t}} \\
& - \bar{M}_p\frac{\partial^2\bar{G}(x)}{\partial\bar{x}^2} = \bar{m}(x)\left(\frac{\partial^2\bar{W}}{\partial\bar{t}^2} - \mu^2\frac{\partial^4\bar{W}}{\partial\bar{t}^2\partial\bar{x}^2}\right) \tag{34}
\end{aligned}$$

با اعمال ولتاژ به صورت استاتیکی و دینامیکی به صورت هم زمان عبارت خیز و گشتاور به صورت معادله (35) در نظر گرفته [13] می‌توان نوشت:

$$\begin{aligned}
\bar{W} &= \bar{W}_s + \bar{W}_d \\
\bar{M}_p &= \bar{M}_{DC} + \bar{M}_{AC} \tag{35}
\end{aligned}$$

با جایگذاری معادله (35) در معادله (34) می‌توان نوشت:

$$\begin{aligned}
& \left(-\int_0^1 \bar{D}_{11}(\bar{x}) \psi_j \sum_{i=0}^n a_i \psi_i''' dx \right. \\
& - 2 \int_0^1 \psi_j \sum_{i=0}^n a_i \psi_i'' \bar{D}'_{11}(\bar{x}) dx \\
& - \int_0^1 \psi_j \sum_{i=0}^n a_i \psi_i'' \bar{D}''_{11}(\bar{x}) dx \\
& + \left[-\int_0^1 \frac{\mu^2 \eta^2}{2} \psi_j \sum_{i=0}^n a_i \psi_i''' \left(\int_0^1 \sum_{i=0}^n (a_i \psi_i')^2 dx \right) dx \right. \\
& - \int_0^1 \frac{\mu^2 A'_{11}(\bar{x})}{A_{11}} \psi_j \sum_{i=0}^n a_i \psi_i''' \left(\int_0^1 \sum_{i=0}^n (a_i \psi_i')^2 dx \right) dx \\
& - \int_0^1 \frac{\mu^2 \eta^2 A''_{11}(\bar{x})}{2A_{11}} \psi_j \sum_{i=0}^n a_i \psi_i'' \left(\int_0^1 \sum_{i=0}^n (a_i \psi_i')^2 dx \right) dx \\
& + \left. \int_0^1 \frac{\eta^2}{2} \psi_j \sum_{i=0}^n a_i \psi_i'' \left(\int_0^1 \sum_{i=0}^n (a_i \psi_i')^2 dx \right) dx \right] \\
& = \bar{M}_{DC} \left[\int_0^1 \bar{G}'' \psi_j dx - \int_0^1 \mu^2 \bar{G}''' \psi_j dx \right]
\end{aligned} \tag{45}$$

پس از انجام محاسبات جبری ضرایب مجھول a_i بدست خواهد آمد و با جایگذاری ضرایب a_i در معادله (38) خیز استاتیکی محاسبه خواهد شد. با جایگذاری $w(x, t) = \varphi(\bar{x})q(t)$ در معادله (36) و ضرب $\varphi(\bar{x})$ و سپس انتگرال‌گیری از صفر تا یک و مرتب‌سازی براساس ضرایب $\ddot{q}, \dot{q}, q^3, q^2, q$ می‌توان نوشت:

$$\begin{aligned}
& q \left[-\int_0^1 \bar{D}_{11} \psi_j \psi_j''' dx - \int_0^1 \bar{D}'_{11} \psi_j \psi_j'' dx \right. \\
& - \eta^2 \mu^2 \int_0^1 \psi_j \left(\sum_{i=1}^n a_i \psi_i''' \right) \int_0^1 \psi_j' \left(\sum_{i=1}^n a_i \psi_i' \right) dx dx \\
& - 2 \int_0^1 \bar{D}'_{11} \psi_j \psi_j''' dx \\
& - \frac{\eta^2 \mu^2}{2} \int_0^1 \psi_j \psi_j''' \int_0^1 \left(\sum_{i=1}^n a_i \psi_i' \right)^2 dx dx \\
& - \frac{2\eta^2 \mu^2}{A_{11}} \int_0^1 A'_{11}(\bar{x}) \psi_j \left(\sum_{i=1}^n a_i \psi_i''' \right) \int_0^1 \left(\sum_{i=1}^n a_i \psi_i' \right) \psi' dx dx \\
& - \frac{\eta^2 \mu^2}{2A_{11}} \int_0^1 \psi_j'' A''_{11}(\bar{x}) \psi_j \int_0^1 \left(\sum_{i=1}^n a_i \psi_i' \right)^2 dx dx \\
& - \frac{\eta^2 \mu^2}{A_{11}} \int_0^1 A'_{11}(\bar{x}) \psi_j \psi_j''' \int_0^1 \left(\sum_{i=1}^n a_i \psi_i' \right)^2 dx dx \\
& + \eta^2 \int_0^1 \psi_j \left(\sum_{i=1}^n a_i \psi_i'' \right) \int_0^1 \psi_j' \left(\sum_{i=1}^n a_i \psi_i' \right) dx dx \\
& + \frac{\eta^2}{2} \int_0^1 \psi_j \psi_j'' \int_0^1 \left(\sum_{i=1}^n a_i \psi_i' \right)^2 dx dx \\
& - \frac{\eta^2 \mu^2}{A_{11}} \int_0^1 A''_{11}(\bar{x}) \psi_j \left(\sum_{i=1}^n a_i \psi_i'' \right) \int_0^1 \psi_j' \left(\sum_{i=1}^n a_i \psi_i' \right) dx dx \\
& + q^2 \left[-\eta^2 \mu^2 \int_0^1 \psi_j \psi_j''' \int_0^1 \psi' \left(\sum_{i=1}^n a_i \psi_i' \right) dx dx \right. \\
& - \frac{\eta^2 \mu^2}{2} \int_0^1 \psi_j \left(\sum_{i=1}^n a_i \psi_i''' \right) \int_0^1 \psi_j'^2 dx dx \\
& - \left. \frac{\eta^2 \mu^2}{A_{11}} \int_0^1 A'_{11}(x) \psi_j \left(\sum_{i=1}^n a_i \psi_i''' \right) \int_0^1 \psi_j'^2 dx dx \right]
\end{aligned}$$

$$\begin{aligned}
& \phi_1(x) = C_1 \sin(\gamma_1 x) + C_2 \cos(\gamma_1 x) + C_3 \sinh(\gamma_1 x) \\
& + C_4 \cosh(\gamma_1 x) \\
& \phi_2(x) = C_5 \sin(\gamma_2 x) + C_6 \cos(\gamma_2 x) + C_7 \sinh(\gamma_2 x) \\
& + C_8 \cosh(\gamma_2 x) \\
& \phi_3(x) = C_9 \sin(\gamma_3 x) + C_{10} \cos(\gamma_3 x) + C_{11} \sinh(\gamma_3 x) \\
& + C_{12} \cosh(\gamma_3 x)
\end{aligned} \tag{40}$$

که توابع آزمون می‌باشند.

$$\begin{aligned}
\gamma_1 & \text{ را می‌توان بر حسب } \gamma_1 \text{ بازنویسی نمود [4]:} \\
\gamma_2 & = \left[\frac{(m_b + m_p) E_b I_b}{m_b (E_b I_b + E_p I_p)} \right]^{\frac{1}{4}} \gamma_1 \\
\gamma_3 & = \left[\frac{m_p E_b I_b}{m_b E_p I_p} \right]^{\frac{1}{4}} \gamma_1
\end{aligned} \tag{41}$$

به منظور محاسبه γ_1 ابتدا چهار شرط مرزی و هشت شرط پیوستگی زیر به معادلات (40) اعمال می‌شود:

$$\phi_1(0) = \frac{d\phi_1(0)}{dx} = 0$$

$$\phi_3(L) = \frac{d\phi_3(L)}{dx} = 0$$

$$\phi_1(L_1) = \phi_2(L_1)$$

$$\frac{d\phi_1(L_1)}{dx} = \frac{d\phi_2(L_1)}{dx}$$

$$(EI)_1 \frac{d^2 \phi_1(L_1)}{dx^2} = (EI)_2 \frac{d^2 \phi_2(L_1)}{dx^2}$$

$$(EI)_1 \frac{d^3 \phi_1(L_1)}{dx^3} = (EI)_2 \frac{d^3 \phi_2(L_1)}{dx^3}$$

$$\phi_2(L_2) = \phi_3(L_2)$$

$$\frac{d\phi_2(L_2)}{dx} = \frac{d\phi_3(L_2)}{dx}$$

$$(EI)_2 \frac{d^2 \phi_2(L_2)}{dx^2} = (EI)_3 \frac{d^2 \phi_3(L_2)}{dx^2}$$

$$(EI)_2 \frac{d^3 \phi_2(L_2)}{dx^3} = (EI)_3 \frac{d^3 \phi_3(L_2)}{dx^3}$$

سپس معادلات به صورت معادله (43) بازنویسی می‌گردد:

$$[A]_{12 \times 12} [c]_{12 \times 1} = 0 \tag{43}$$

از محاسبه ریشه‌های معادله دترمینان ماتریس A برای مودهای مختلف بدست می‌آید سپس جهت محاسبه ضرایب C_1 الی C_{12} هر مود، γ_1 مربوط به مود موردنظر در معادله (34) قرار داده می‌شود.

I_b ، I_p ، M_{DC} ، M_{AC} گشتاور دینامیکی و استاتیکی می‌باشند که از روابط (44) حساب می‌شوند:

$$I_b = \frac{\frac{h^3}{12}}{I_p} + h_p \left(\frac{h_p + h}{2} \right)^2$$

$$M_{DC} = V_{DC} e_{31} (h + h_p)$$

$$M_{AC} = V_{AC} e_{31} (h + h_p)$$

پس از جایگذاری معادله (38) در (37) و ضرب کل معادله در ψ و انتگرال گیری از صفر تا یک می‌توان نوشت:

$$\frac{dJ}{d\alpha} = 0 \quad (53)$$

با جایگذاری معادله (47) در (53) خواهیم داشت:

$$J(q) = \int_0^{T/4} \left[-\frac{1}{2} \dot{q}^2 + \omega_n^2 \frac{q^2}{2} + \beta_1 \frac{q^3}{3} + \beta_2 \frac{q^4}{4} \right] dt \quad (54)$$

با جایگذاری راه حل تقریبی $q(t) = \alpha \cos(\omega t)$ در معادله (54) و انتقال $\theta = \omega t$ می‌توان نوشت:

$$J(\alpha, \omega) = \frac{1}{\omega} \int_0^{\frac{\pi}{2}} \left[-\frac{1}{2} \alpha^2 \omega^2 \sin^2 \theta + \frac{\omega_n^2}{2} \alpha^2 \cos^2 \theta \right. \\ \left. + \frac{\beta_1}{3} \alpha^3 \cos^3 \theta + \frac{\beta_2}{4} \alpha^4 \cos^4 \theta \right] d\theta \quad (55)$$

با توجه به شرایط تعادل $0 = \frac{dJ}{d\alpha}$ می‌توان نوشت:

$$\frac{dJ}{d\alpha} = \frac{1}{\omega} \int_0^{\frac{\pi}{2}} \left[-\alpha \omega^2 \sin^2 \theta + \omega_n^2 \alpha \cos^2 \theta \right. \\ \left. + \beta_1 \alpha^2 \cos^3 \theta + \beta_2 \alpha^3 \cos^4 \theta \right] = 0 \quad (56)$$

از رابطه فوق می‌توان نوشت:

$$\omega^2 = \frac{\int_0^{\frac{\pi}{2}} [\omega_n^2 \cos^2 \theta + \beta_1 \alpha \cos^3 \theta + \beta_2 \alpha^2 \cos^4 \theta] d\theta}{\int_0^{\frac{\pi}{2}} [\sin^2 \theta] d\theta} \quad (57)$$

پس از انتگرال‌گیری و ساده‌سازی فرکانس طبیعی غیرخطی براساس الاستیسیته غیرموضعی و تئوری تیر اوپلر برنولی به صورت معادله (58) نوشه شود:

$$\omega^2 = \omega_n^2 + \frac{8}{3\pi} \alpha \beta_1 + \frac{3}{4} \beta_2 \alpha^2 \quad (58)$$

نسبت فرکانس غیرخطی به خطی می‌توان به صورت معادله (59) نوشت:

$$\frac{\omega_{NL}}{\omega_L} = \sqrt{1 + \frac{8}{3\pi} \alpha \frac{\beta_1}{\omega_n^2} + \frac{3}{4} \frac{\beta_2}{\omega_n^2} \alpha^2} \quad (59)$$

5-بحث و نتایج

در این بخش نتایج بدست آمده از حل معادلات ارائه می‌گردد. جنس پیزوالکتریک PZT-5 در نظر گرفته شده که مشخصات آن در جدول 1 ارائه شده است [4].

همگرایی خیز تیر با افزایش تعداد و نوع شکل مودهای مورد استفاده در روش گلرکین به ازای ولتاژ 0.1 ولت در جدول 2 و شکل 2 ارائه شده است همان‌طور که مشاهده می‌شود با افزایش تعداد مودها، پاسخ بدست آمده به نتیجه روش اجزاء محدود نزدیک می‌شود. با توجه به متقارن بودن تیر مورد بررسی تاثیر استفاده از مودهای متقارن نیز بر روی نتایج بررسی شده است. مشاهده می‌شود که استفاده از تعداد بیشتری از شکل مود متقارن نتیجه بهتری حاصل می‌شود [1].

با توجه به متقارن بودن لایه‌های پیزوالکتریک مودهای نامتقارن یا مودهای زوج تاثیر چندانی بر روی نمودار خیز ندارند. در شکل 3 خیز تیر شبیه‌سازی شده در نرم‌افزار اجزاء محدود با استفاده از المان صفحه‌ای 182 مدل شده است.

در شکل 4 تغییرات خیز برای مقادیر مختلف ضربی مقیاس بررسی شده است. با افزایش ضربی مقیاس ماکریم خیز افزایش می‌یابد یا به عبارت دیگر سختی تیر کم می‌شود. در شکل 5 تغییرات خیز با اعمال ولتاژهای متفاوت مورد بررسی قرار گرفته که با افزایش ولتاژ خیز تیر افزایش یافته است.

$$-\frac{2\eta^2 \mu^2}{A_{11}} \int_0^1 \psi_j A'_{11}(x) \psi_j''' \int_0^1 \psi_j' \left(\sum_{i=1}^n a_i \psi_i' \right) dx dx \\ -\frac{\eta^2 \mu^2}{2A_{11}} \int_0^1 \psi_j A''_{11}(x) \left(\sum_{i=1}^n a_i \psi_i'' \right) \int_0^1 \psi_j'^2 dx dx \\ -\frac{\eta^2 \mu^2}{A_{11}} \int_0^1 A''_{11}(x) \psi_j'' \psi_j \int_0^1 \left(\sum_{i=1}^n a_i \psi_i' \right) \psi_j' dx dx \\ +\frac{\eta^2}{2} \int_0^1 \left(\sum_{i=1}^n a_i \psi_i'' \right) \psi_j \int_0^1 \psi_j'^2 dx dx \\ +\eta^2 \int_0^1 \psi_j \psi_j'' \int_0^1 \psi_j' \left(\sum_{i=1}^n a_i \psi_i' \right) dx dx \\ +q^3 \left[-\frac{\eta^2 \mu^2}{2} \int_0^1 \psi_j \psi_j''''' \int_0^1 \psi_j'^2 dx dx \right. \\ \left. -\frac{\eta^2 \mu^2}{A_{11}} \int_0^1 A'_{11}(x) \psi_j'''' \psi_j \int_0^1 \psi_j'^2 dx dx \right. \\ \left. -\frac{\eta^2 \mu^2}{2A_{11}} \int_0^1 A''_{11}(x) \psi_j'' \psi_j \int_0^1 \psi_j'^2 dx dx \right. \\ \left. +\frac{\eta^2}{2L} \int_0^1 \psi_j'' \psi_j \int_0^1 \psi_j'^2 dx dx \right] \\ +\dot{q} \bar{C} \left[\mu^2 \int_0^1 \psi_j \psi_j'' dx dx - \int_0^1 \psi_j'^2 dx dx \right] \\ +\dot{q} \left[\mu^2 \int_0^1 m \psi_j \psi_j'' dx dx - \int_0^1 m \psi_j'^2 dx dx \right] \\ = M_{AC} \left[\int_0^1 G'' \psi_j dx - \mu^2 \int_0^1 G''' \psi_j dx \right] \quad (46)$$

جهت انجام تحلیل ارتعاشات آزاد از ضرباب دمپر و گشتاور تحریک صرف نظر کرده و معادله (45) به صورت (47) بازنویسی می‌شود:

$$\ddot{q} + \omega_n^2 q + \beta_1 q^2 + \beta_2 q^3 = 0 \quad (47)$$

4-حل معادله به روش تغییرات هی

هی روش بسیار کار آمد و آسان برای حل معادلات غیرخطی می‌باشد. اگر شکل کلی معادله دیفرانسیل غیرخطی برای ارتعاش آزاد به صورت معادله (48) در نظر گرفته می‌شود [14]:

$$\ddot{q} + f(q) = 0 \quad (48)$$

تغییرات معادله (48) را می‌توان به روش نیمه معکوس به صورت معادله (49) نوشت:

$$J(q) = \int_0^{T/4} \left[-\frac{1}{2} \dot{q}^2 + F(q) \right] dt \quad (49)$$

که دوره نوسانگر غیرخطی است و $F = \frac{\partial f}{\partial q}$ می‌باشد. راه حل تقریبی به صورت معادله (50) در نظر گرفته می‌شود:

$$q(t) = \alpha \cos \omega t \quad (50)$$

فرکانس نوسانگر غیرخطی و $\omega = \frac{W_{\max}}{h_p}$ می‌باشد. با جایگذاری معادله (50) در (49) می‌توان نوشت:

$$J(q) = \int_0^{T/4} \left[-\frac{1}{2} \alpha^2 \omega^2 \sin^2 \omega t + F(\alpha \cos \omega t) \right] dt \quad (51)$$

با انتقال $\omega = \theta$ و پس از جایگذاری در معادله (51):

$$J(q) = \frac{1}{\omega} \int_0^{\pi/2} \left[-\frac{1}{2} \alpha^2 \omega^2 \sin^2 \theta + F(\alpha \cos \theta) \right] dt \quad (52)$$

با توجه به روش ریتز برای شرایط پایدار باید داشته باشیم $\frac{\partial J}{\partial \alpha} = 0$ و $\frac{\partial J}{\partial \omega} = 0$ اما با این حال نتایج نادرستی برای فرکانس طبیعی غیرخطی می‌دهد. هی شرایط مرزی را به صورت معادله (53) اصلاح کرده [14]:

جدول ۱ مشخصات مواد و ابعاد هندسی

Table 1 Material and geometric properties

مقدار	واحد	کمیت
59	GPa	E_p
105	GPa	E_b
-12.54	Cm ⁻²	e_{31}
7800	kg m ⁻³	ρ_e
9000	kg m ⁻³	ρ_p
240×10^{-9}	m	L
8×10^{-9}	m	b
4×10^{-9}	m	h_p
4×10^{-9}	m	h
207	GPa	E_{Steel}
70	GPa	E_{Alu}
128	GPa	E_{Cop}
7800	kg m ⁻³	ρ_{Steel}
2700	kg m ⁻³	ρ_{Alu}
8900	kg m ⁻³	ρ_{Cop}

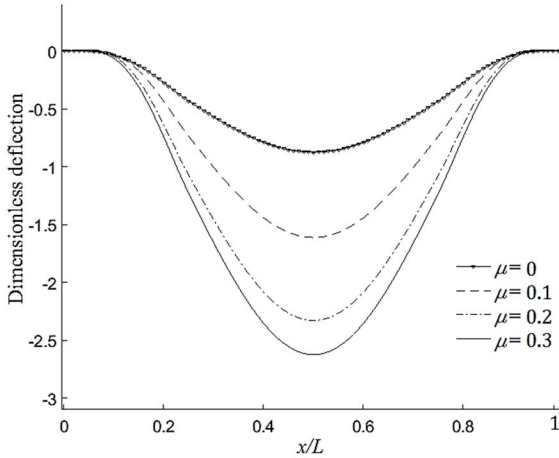


Fig. 4 Deflection of the beam for different values of nonlocal parameter and $v_{DC}=0.1V$

شکل ۴ خیز تیر برای $v_{DC}=0.1V$ به ازای مقادیر مختلف ضریب مقیاس

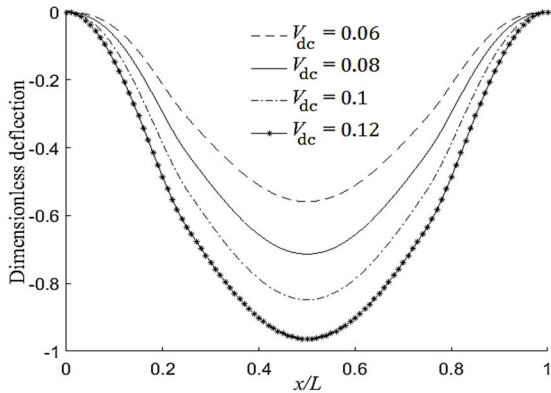


Fig. 5 Beam deflection for $\mu = 0$ and different values of the applied voltage

شکل ۵ خیز تیر برای $\mu = 0$ و مقادیر مختلف ولتاژ

فرکانس طبیعی محاسبه شده به روش گلرکین و اجزاء محدود برای سه مود نخست به ازای دو طول مختلف پیزوالکتریک در جدول ۳ ارایه شده است. میان نتایج اختلاف کمی مشاهده می‌شود که حاکی از صحت معادلات می‌باشد. فرکانس طبیعی دو مود نخست با افزایش طول پیزوالکتریک افزایش یافته در حالی که فرکانس طبیعی مود سوم کاهش می‌یابد. علت این مسئله آن است که در واقع در مود سوم با افزایش طول پیزوالکتریک، جرم معادل تیر، بیش از سختی معادل آن افزایش می‌یابد. این قضیه در شکل ۶ و ۷ نشان داده شده است.

جدول ۳ مقایسه فرکانس طبیعی خطی (Hz) محاسبه شده به روش گلرکین و روش اجزاء محدود

Table 3 Comparing the natural frequency (Hz) calculated by the Galerkin method and FEM

درصد اختلاف	روش اجزاء محدود	روش گلرکین	$\mu = 0$	طول پیزوالکتریک	
				مود	مود
0.13	2.8300e8	2.8345e8		$L_1 = 0.25L$	1
1.1	7.2612e8	7.3422e8		$L_2 = 0.75L$	2
0.71	1.9543e9	1.9682e9			3
0.008	3.1208e8	3.1215e8		$L_1 = 0.2L$	1
0.036	8.2516e8	8.2486e8		$L_2 = 0.8L$	2
0.99	1.8234e9	1.8417e9			3

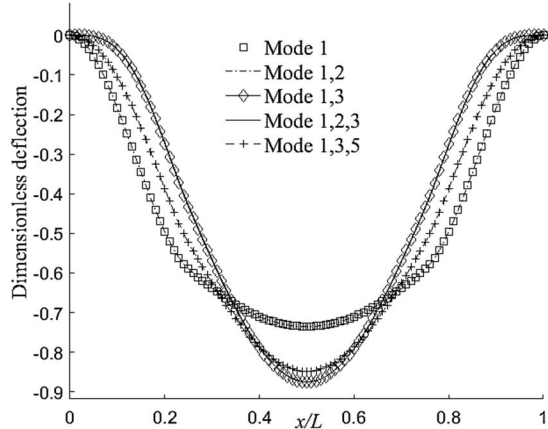


Fig. 2 Convergence study of the deflection in the galerkin method for $v_{DC}=0.1V$

شکل ۲ بررسی همگرایی خیز در روش گلرکین به ازای $v_{DC}=0.1V$

جدول ۲ مقادیر خیز بیشینه محاسبه شده به روش گلرکین و روش اجزاء محدود به ازای $v_{DC}=0.1V$

Table 2 maximum values of the deflection calculated by Galerkin method and FEM for $v_{DC}=0.1V$

درصد اختلاف	خیز اجزاء محدود [nm]	خیز گلرگین [nm]	مودهای استفاده شده
12%	3.35e-9	2.94e-9	1
12%	3.35e-9	2.94e-9	2,1
4.3%	3.35e-9	3.5e-9	3,1
4.3%	3.35e-9	3.5e-9	3,2,1
1.3%	3.35e-9	3.39e-9	5,3,1

NODAL SOLUTION

```
STEP=1
SUB=1
TIME=1
USUM (AVG)
RSYS=0
DMX=.335E-08
SMX=.335E-08
```

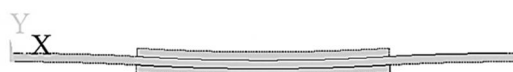


Fig. 3 Calculated deflection of the beam using FEM for $v_{DC}=0.1V$

شکل ۳ خیز محاسبه شده برای تیر با استفاده از نرم افزار اجزاء محدود به ازای $v_{DC}=0.1V$

برای ضرایب مقیاس مختلف نشان داده شده است. با افزایش ولتاژ مستقیم تیر دچار خیز استاتیکی و کشیدگی تار خنثی و افزایش سختی می‌شود در نتیجه همان‌طور که در شکل 8 مشخص می‌باشد با افزایش ولتاژ، فرکانس خطی افزایش پیدا می‌کند. شبیه افزایش فرکانس طبیعی در اثر افزایش ولتاژ مستقیم اعمالی ابتدا زیاد بوده و سپس با شبیه کمتری به رشد خود ادامه می‌دهد. همچنین با افزایش ضریب مقیاس، شبیه افزایش فرکانس طبیعی در اثر اعمال ولتاژ مستقیم بیشتر می‌شود. در ابتدای شکل 8 در ولتاژ خاصی فرکانس طبیعی خطی برای چند ضریب مقیاس متفاوت مساوی می‌شود.

در شکل 9 با افزایش ولتاژ، سختی تیر و به تبع آن فرکانس طبیعی خطی افزایش می‌یابد که در نتیجه باعث کاهش نسبت فرکانسی می‌شود. در شکل 10 تغییرات نسبت فرکانسی مود اول بر حسب به دامنه بی بعد به ازای طول پیزوالکتریک $L_1=0.25L$, $L_2=0.75L$ و ولتاژ مستقیم صفر و ضرایب مختلف مقیاس نشان داده شده است. با افزایش ضریب مقیاس شبیه افزایش این نمودار بیشتر می‌شود.

در شکل 11 با افزایش طول تیر فرکانس طبیعی خطی تیر بلندتر کاهش یافته است و در نتیجه نسبت فرکانس غیرخطی به خطی برای تیر بلندتر بیشتر می‌باشد. در شکل 12 تغییرات نسبت فرکانسی بر حسب دامنه بی بعد و به ازای تغییرات طول پیزوالکتریک قابل مشاهده می‌باشد. مشاهده می‌شود که با افزایش طول پیزوالکتریک نسبت فرکانسی کاهش می‌یابد. که علت آن افزایش بیشتر فرکانس خطی در مقایسه با فرکانس غیرخطی می‌باشد. در شکل 13 نسبت فرکانسی بر حسب دامنه بی بعد به ازای مقادیر مختلف با ضخامت پیزوالکتریک مورد بررسی قرار گرفته است.

جدول 4 مقادیر فرکانس طبیعی خطی [MHz] تیر برای $\frac{h_p}{h_b} = 0.2$, $\frac{L}{h_b} = 20$, $\frac{h_p}{h_b} = 0.2$

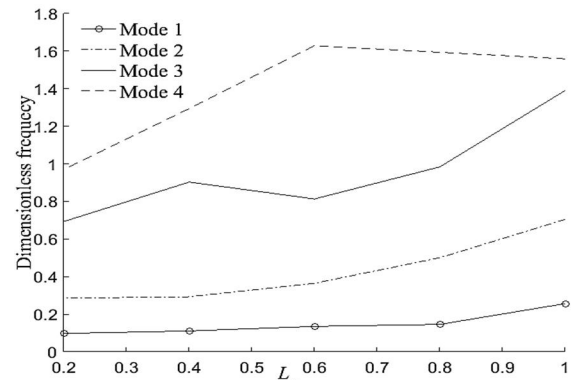
Table 4 The values of linear natural frequency [MHz] of the beam for $\frac{h_p}{h_b} = 0.2$, $\frac{L}{h_b} = 20$ and different values of nonlocal parameter

ضریب مقیاس μ	درصد اختلاف	تحقیق حاضر	مرجع [9]
0.00	34.6783	34.6781	0
1.68	33.2842	32.7236	0.1
5.1	29.9135	28.3894	0.2

جدول 5 فرکانس طبیعی خطی بی بعد برای مقادیر مختلف ضریب مقیاس و طول پیزوالکتریک

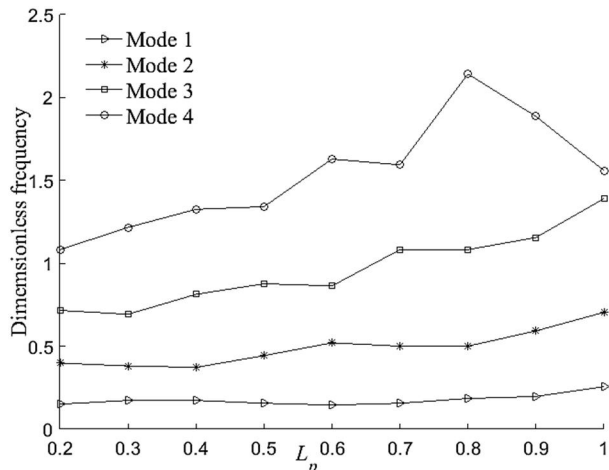
Table 5 The values of dimensionless linear natural frequency for different values of nonlocal parameters and piezoelectric length

ضریب مقیاس μ = 0.3	ضریب مقیاس μ = 0.2	ضریب مقیاس μ = 0.1	ضریب مقیاس μ = 0	طول پیزوالکتریک	مود
0.094	0.108	0.120	0.125	$L_1 = 0.25L$	1
0.165	0.216	0.283	0.324	$L_2 = 0.75L$	2
0.293	0.412	0.637	0.869		3
0.099	0.115	0.129	0.135	$L_1 = 0.2L$	1
0.185	0.242	0.318	0.364	$L_2 = 0.8L$	2
0.286	0.400	0.609	0.813		3



شکل 6 بررسی اثر طول پیزوالکتریک واقع در وسط تیر بر فرکانس طبیعی خطی

بی بعد چهار مود اول



شکل 7 بررسی اثر طول پیزوالکتریک واقع در گوش تیر بر فرکانس طبیعی خطی

بی بعد برای چهار مود اول

در شکل 6 و 7 تغییرات فرکانس طبیعی با تغییر طول پیزوالکتریک نشان داده شده است. در شکل 6 محور افقی نمودار، طول پیزوالکتریکی را که در وسط تیر چسبانده شده نشان می‌دهد و در شکل 7 محور افقی نمودار طول پیزوالکتریک چسبانده شده در گوش تیر را نشان می‌دهد. همان‌طور که در شکل 6 مشخص می‌باشد در مود اول و دوم با افزایش طول پیزوالکتریک فرکانس طبیعی روند افزایشی داشته اما در مود سوم و چهارم اینگونه نمی‌باشد. جهت صحبت‌سنجی تغییرات فرکانس طبیعی با تغییر ضرایب مقیاس، از مرجع [9] استفاده شده که نتایج آن در جدول 4 قابل مشاهده می‌باشد. در جدول 5 تغییرات فرکانس طبیعی خطی برای سه مود اول با تغییرات دو مؤلفه طول پیزوالکتریک چسبانده شده در وسط تیر و ضریب مقیاس مورد بررسی قرار گرفته است. مشاهده می‌شود که در هر سه مود با افزایش ضریب مقیاس، فرکانس طبیعی خطی کاهش می‌یابد. در مود سوم کاهش فرکانس شدیدتر از دو مود اول می‌باشد. کاهش طول پیزوالکتریک باعث افزایش فرکانس طبیعی مود سوم تیر شده است. با افزایش ضریب مقیاس درصد اختلاف فرکانس مود سوم کمتر می‌شود. در شکل 8 تغییرات فرکانس طبیعی خطی بی بعد با اعمال ولتاژ مستقیم

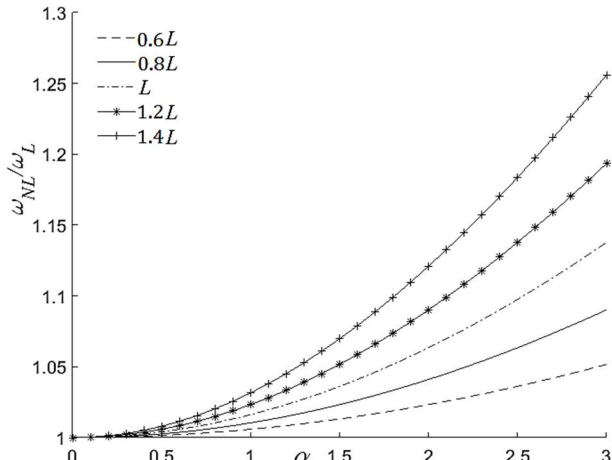


Fig. 11 Variation of the first mode frequency ratio versus the dimensionless amplitude for different values of beam length, $v_{DC}=0$, $L_1=0.25L$, $L_2=0.75L$ and $\mu = 0$

شکل 11 تغییرات نسبت فرکانسی مود اول بر حسب دامنه بی بعد به ازای مقادیر مختلف طول تیر، $v_{DC}=0$ $L_2=0.75L$ $L_1=0.25L$ $\mu = 0$

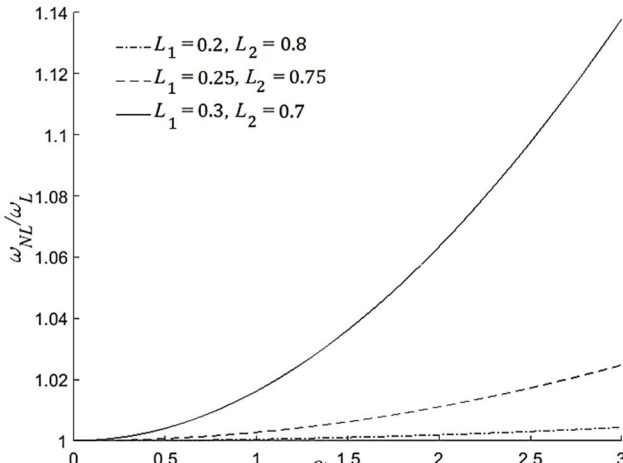


Fig. 12 Variation of the first mode frequency ratio versus the dimensionless amplitude for different lengths of piezoelectric layer, $v_{DC}=0$ and $\mu = 0$

شکل 12 تغییرات نسبت فرکانسی مود اول بر حسب دامنه بی بعد برای مقادیر مختلف طول پیزوالکتریک، $v_{DC}=0$ و $\mu = 0$

با افزایش ضخامت پیزوالکتریک، تا ضخامتی برابر لایه الاستیک، نسبت فرکانسی کاهش می‌یابد که نشان‌دهنده افزایش فرکانس خطی یا افزایش سختی تیر با افزایش ضخامت دارد و با افزایش بیشتر ضخامت لایه پیزوالکتریک، نسبت فرکانسی همان‌طور که در شکل 13 نشان داده شده افزایش می‌یابد که نشان‌دهنده اثر بیشتر جرم نسبت به سختی تیر است که منجر به کاهش فرکانس خطی و افزایش نسبت فرکانسی می‌شود. در شکل 14 تغییرات نسبت فرکانسی برای مس، فولاد، آلومینیوم و برنج بررسی شده است. که به ترتیب فولاد، آلومینیوم، مس و برنج بیشترین افزایش نسبت فرکانسی را با افزایش نسبت دامنه بی بعد داشته‌اند.

6-نتیجه گیری

در این مقاله، ارتعاشات آزاد غیرخطی نانو عملگر پیزوالکتریک بایمورف مورد مطالعه قرار گرفت. نانو عملگر با استفاده از تئوری تیراویلر برنولی و الاستیسیته غیرموضعی مدل‌سازی شد. به منظور استخراج معادلات حاکم

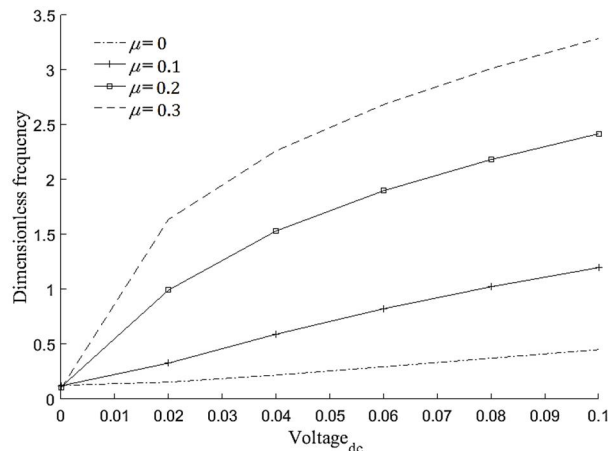


Fig. 8 بررسی فرکانسی طبیعی خطی بی بعد مود اول بر حسب ولتاژ مستقیم $L_2=0.75L$ و $L_1=0.25L$

شکل 8 تغییرات نسبت فرکانسی طبیعی خطی بی بعد مود اول بر حسب ولتاژ مستقیم به ازای $L_2=0.75L$ و $L_1=0.25L$

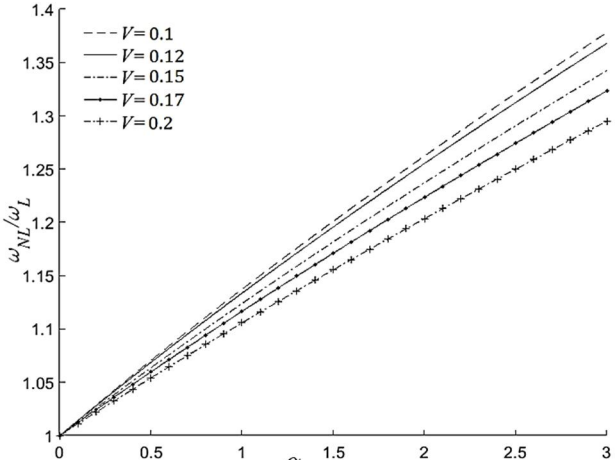


Fig. 9 The effect of applied voltage on the first frequency ratio, $L_2=0.75L$, $L_1=0.25L$ and $\mu = 0$

شکل 9 تغییرات نسبت فرکانسی بر حسب ولتاژ مستقیم $L_2=0.75L$ $L_1=0.25L$ و $\mu = 0$

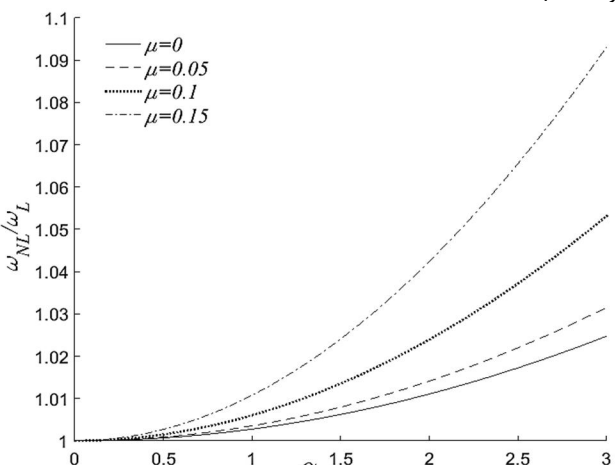


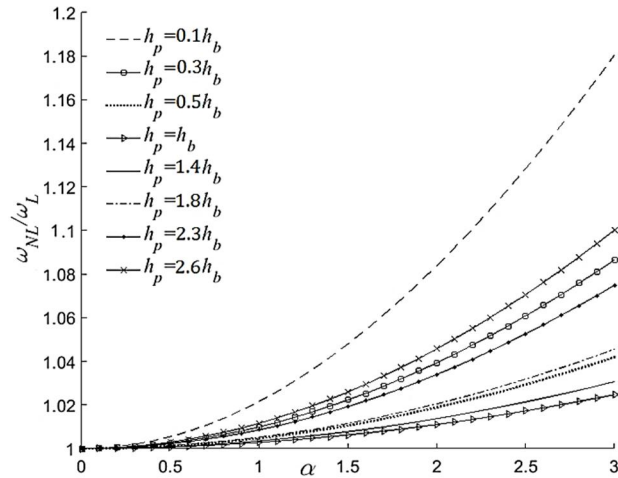
Fig. 10 Variation of the first mode frequency ratio versus dimensionless amplitude for $L_1=0.25L$, $L_2=0.75L$ and $v_{DC}=0$

شکل 10 تغییرات نسبت فرکانسی مود اول بر حسب دامنه بی بعد به ازای مقادیر مختلف ضریب مقیاس، $v_{DC}=0$ و $L_2=0.75L$, $L_1=0.25L$

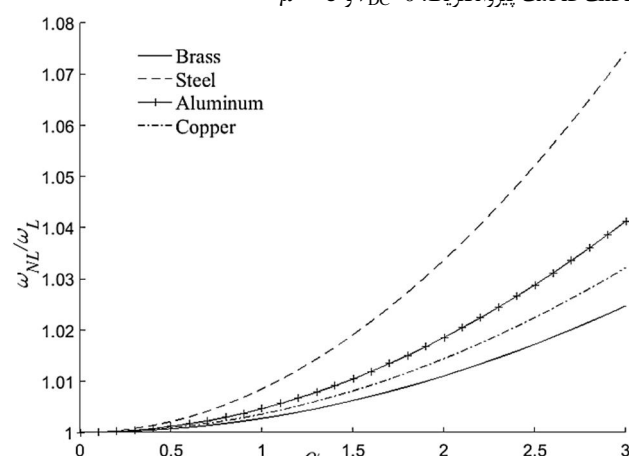
علایم یونانی	
دامنه بی بعد	α
مولفه های کرنش	ε_{kl}
کرنش لایه میانی	$\dot{\varepsilon}_{kl}$
ضریب مقیاس بی بعد	μ
مولفه های تنش (N/m ²)	σ_{ij}
فرکانس طبیعی خطی بی بعد	ω_L
فرکانس طبیعی غیرخطی بی بعد	ω_{NL}
کار نیروهای خارجی (J)	Π_f
انرژی جنبشی (J)	Π_k
انرژی کرنشی (J)	Π_s

8- منابع

- [1] M. Zamanian, S. Khadem, S. Mahmoodi, The effect of a piezoelectric layer on the mechanical behavior of an electrostatic actuated microbeam, *Smart Materials and Structures*, Vol. 17, No. 6, Article ID 065024, 2008.
- [2] S. N. Mahmoodi, N. Jalili, M. F. Daqaq ,Modeling, nonlinear dynamics, and identification of a piezoelectrically actuated microcantilever sensor, *Mechatronics, IEEE/ASME Transactions on*, Vol. 13, No. 1, pp. 58-65, 2008 .
- [3] S. Azizi, M. R. Ghazavi, G. Rezazadeh, I. Ahmadian, C. Cetinkaya, Tuning the primary resonances of a micro resonator, using piezoelectric actuation, *Nonlinear Dynamics*, Vol. 76, No. 1, pp. 839-852, 2014.
- [4] H. Ghafarirad, S. Rezaei, A. A. Sarhan, M. Zarenejad, Continuous dynamic modelling of bimorph piezoelectric cantilevered actuators considering hysteresis effect and dynamic behaviour analysis, *Mathematical and Computer Modelling of Dynamical Systems*, Vol. 21, No. 2, pp. 130-152, 2015 .
- [5] M. Zamanian, H. Rezaei, M. Hadilu, H. S.A.A, A comprehensive analysis on the discretization method of the equation of motion in piezoelectrically actuated microbeams, *Smart Structures and Systems*, Vol. 16, No. 5, pp.891-918, 2015.
- [6] L.-L. Ke, Y.-S. Wang, Thermoelectric-mechanical vibration of piezoelectric nanobeams based on the nonlocal theory, *Smart Materials and Structures*, Vol. 21, No. 2, Article ID 025018, 2012 .
- [7] L.-L. Ke, Y.-S. Wang, Z.-D. Wang, Nonlinear vibration of the piezoelectric nanobeams based on the nonlocal theory, *Composite Structures*, Vol. 94, No. 6, pp. 2038-2047, 2012 .
- [8] A .Shah-Mohammadi-Azar, A. Khanchehgardan, G. Rezazadeh, R. Shabani, Mechanical response of a piezoelectrically sandwiched nano-beam based on the nonlocal theory, *International Journal of Engineering-Transactions C: Aspects*, Vol. 26, No. 12, pp. 1515-1524, 2013.
- [9] M. Nazemizadeh, F. Bakhtiari-Nejad, Size-dependent free vibration of nano/microbeams with piezo-layered actuators, *Micro & Nano Letters*, Vol. 10, No. 2, pp. 93-98, 2015 .
- [10] M. Şimşek, Large amplitude free vibration of nanobeams with various boundary conditions based on the nonlocal elasticity theory, *Composites Part B: Engineering*, Vol. 56, pp. 621-628, 2014.
- [11] N. Jalili, *Piezoelectric-based vibration control: from macro to micro/nano scale systems*, pp.216-218, New York: Springer Science & Business Media, 2009.
- [12] C. Liu, L.-L. Ke, Y.-S. Wang, J. Yang, S. Kitipornchai, Thermo-electro-mechanical vibration of piezoelectric nanoplates based on the nonlocal theory, *Composite Structures*, Vol. 106, pp. 167-174, 2013 .
- [13] M. Zamanian, S. Khadem, S. Mahmoodi, Analysis of non-linear vibrations of a microresonator under piezoelectric and electrostatic



شکل 13 تغییرات نسبت فرکانسی مود اول بر حسب دامنه بی بعد به ازای مقادیر مختلف ضخامت پیزوالکتریک، $\mu = 0$ و $v_{DC} = 0$



شکل 14 تغییرات نسبت فرکانسی مود اول بر حسب دامنه بی بعد برای جنس های مختلف لایه الاستیک، $\mu = 0$ و $v_{DC} = 0$

از اصل همیلتون و جهت کاهش مرتبه و حل از روش گلرکین استفاده گردید. همچنین نتایج نشان داد افزایش ضریب مقیاس موجب کاهش فرکانس طبیعی خطی و افزایش نسبت فرکانس طبیعی غیرخطی به خطی می شود. افزایش ولتاژ مستقیم منجر به افزایش فرکانس طبیعی خطی و کاهش نسبت فرکانس طبیعی غیرخطی به خطی شد. با افزایش ولتاژ مستقیم برای ضرایب مقیاس مختلفی، فرکانس طبیعی با یکدیگر مساوی شدند. همچنین نشان داد شد که افزایش طول لایه های پیزوالکتریک همواره با افزایش فرکانس طبیعی خطی همراه نمی باشد.

7- فهرست علایم انگلیسی

مولفه های میدان الکتریکی (V/m)	E_k
ضریب مقیاس (m)	$e_0 a$
گشتاور ایجاد شده در اثر ولتاژ مستقیم (N.M/M)	\bar{M}_{DC}
گشتاور ایجاد شده در اثر ولتاژ متناوب (N.M/M)	\bar{M}_{AC}

[14] J.-H. He, Variational approach for nonlinear oscillators, *Chaos, Solitons & Fractals*, Vol. 34, No. 5, pp. 1430-1439, 2007.

actuations, *Proceedings of the Institution of Mechanical Engineers, Part C: Journal of Mechanical Engineering Science*, Vol. 223, No. 2, pp. 329-344, 2009 .